

Б.Ж. ТОКСАНБАЕВ<sup>А</sup>, Е.А. ВАСИЛЬЧЕНКО<sup>В</sup>, А.М. ЖУНУСБЕКОВ<sup>А</sup>,  
А.Ч. ЛУЩИК<sup>В</sup>, В.П. НАГИРНЫЙ<sup>В</sup>, Т.Н. НУРАХМЕТОВ<sup>А</sup>, Ф.А. САВИХИН<sup>В</sup>

## ЛЮМИНЕСЦЕНЦИЯ КАТИОННЫХ ЭКСИТОНОВ В КРИСТАЛЛАХ $\text{Gd}_2\text{SiO}_5$ (Представлена академиком НАН РК Н.Ж. Такибаевым)

Для монокристаллов  $\text{Gd}_2\text{SiO}_5$  и  $\text{Gd}_2\text{SiO}_5:\text{Ce}^{3+}$  выделена и исследована люминесценция катионных экситонов ( $\text{Gd}^{3+}$ ) и примесных  $\text{Ce}^{3+}$ -центров при возбуждении электронами 10 кэВ или фотонами 4-20 эВ при 5-8 К, или одиночными наносекундными импульсами электронов 300 кэВ при 80 К. Для  $\text{Gd}_2\text{SiO}_5$  зарегистрирована тонкая структура  $f \otimes f$  электронных переходов в ионе  $\text{Gd}^{3+}$  с основного уровня  $^8S_{7/2}$  на возбужденные уровни  $^6P_J$  (поглощение в области ~ 4 эВ),  $^4I_J$  (~4,5 эВ) и  $^6D_J$  (~5 эВ), а также почти резонансные с этими переходами в поглощении линии излучения. Эффективность свечения 3,95 эВ ( $^6P_J \otimes ^8S_{7/2}$ ) при 8 К особенно высока, когда фотоны возбуждают окружающие  $\text{Gd}^{3+}$  ионы кислорода (6,8-8,0 эВ) или создают электроны и дырки в режиме размножения.

Разработка и усовершенствование быстрых радиационно-стойких сцинтилляторов является одним из основных направлений в физике сцинтилляционных материалов. Материалы на основе сложных оксидов редкоземельных элементов отличаются повышенной термической, химической и радиационной стойкостью, а также высоким световым выходом сцинтилляций, причем при использовании  $\text{Ce}^{3+}$  ионов в качестве центров люминесценции - и приемлемым быстродействием (см., например, [1]). Перспективны в том числе и легированные ионами  $\text{Ce}^{3+}$  сцинтилляторы на основе оксиортосиликата гадолиния ( $\text{Gd}_2\text{SiO}_5$ ) и их более сложных аналогов (например,  $\text{Gd}_{2-x}\text{Lu}_x\text{SiO}_5$ ) [2-4]. Однако полное использование пока скрытых возможностей таких монокристаллов требует детального комплексного изучения механизмов их функционирования. Важная информация может быть получена при изучении базового материала  $\text{Gd}_2\text{SiO}_5$  методами вакуумной ультрафиолетовой (ВУФ) и термоактивационной спектроскопии (ТАС) в широком диапазоне температур (5-700 К), как это было ранее сделано для многих щелочногалоидных кристаллов [5], включая  $\text{LiF}$  [6], и для  $\text{CaSO}_4$  [7]. В настоящей работе приводятся оригинальные результаты комплексного исследования монокристаллов  $\text{Gd}_2\text{SiO}_5$  высокого оптического качества и уровня чистоты. Некоторые характеристики  $\text{Gd}_2\text{SiO}_5$  и  $\text{Gd}_2\text{SiO}_5:\text{Ce}^{3+}$  были ранее изучены в [2-4, 8]. Особое внимание мы уделили роли катионных электронных возбуждений  $\text{Gd}_2\text{SiO}_5$  в процессах низкотемпературной люминесценции под воздействием УФ- и ВУФ-радиации, а также электронов с энергиями 5-10 или 300 кэВ.

Измерения выполнены на кристаллах  $\text{Gd}_2\text{SiO}_5$  и  $\text{Gd}_2\text{SiO}_5:\text{Ce}^{3+}$  (0,5 мол%), выращенных методом Чохральского в Институте сцинтилляционных материалов (Харьков, Украина) [4]. Использованы плоскопараллельные полированные пластины размером 6 × 6 × 0,4 мм<sup>3</sup>. Спектры оптического поглощения изменились на спектрофотометре JASCO V-550 с пределом измерения оптической плотности OD = 4 и чувствительностью 0,01. Спектры катодолюминесценции в области 1,7-11 эВ измерялись при 5-420 К с использованием двухканальной системы (двойные вакуумный и ДМР-4 монохроматоры с фотоумножителем Hamamatsu R6838 или счетчиком фотонов H6240) при возбуждении электронами 5-10 кэВ (подробнее смотри в [6]). В спектры излучения внесены все необходимые поправки. Быстрое свечение, возбуждаемое одиночными мощными импульсами электронов (300 кэВ, ~3 нс) генератора ГИН-600 системы Месица-Ковалчук, регистрировалось при 80 или 300 К вnano- и микросекундных интервалах с помощью запоминающего осциллографа Tektronix TDS 3032 (см. [9]). Нормализованные по свечению эталонного салицилата натрия спектры возбуждения для различных свечений измерены при 8 К с использованием синхротронного излучения 4-20 эВ на канале SUPERLUMI (HASYLAB at DESY, Гамбург, Германия), детально описанном в [10].

На рис. 1 приведены спектры оптического поглощения  $\text{Gd}_2\text{SiO}_5$  и  $\text{Gd}_2\text{SiO}_5:\text{Ce}^{3+}$  (0,5 мол%) при 295 К. В  $\text{Gd}_2\text{SiO}_5$  четко видны узкие слабые линии, соответствующие запрещенным  $4f \otimes 4f$  электронным переходам  $^8S_{7/2} \otimes ^6P_J$  (в области 4 эВ),  $^8S_{7/2} \otimes ^4I_J$  (~4,5 эВ) и  $^8S_{7/2} \otimes ^6D_J$

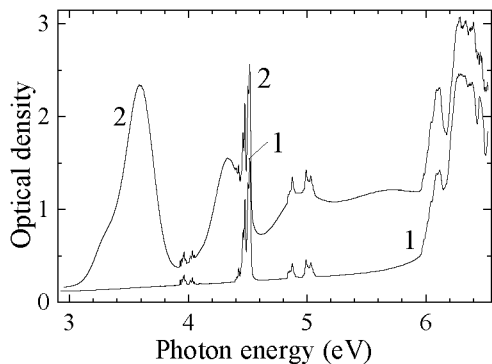


Рис. 1. Спектры оптического поглощения  $\text{Gd}_2\text{SiO}_5$  (кривая 1) и  $\text{Gd}_2\text{SiO}_5:\text{Ce}^{3+}$  (0,5 мол%, кривая 2), измеренные с шагом 0,1 нм при 295 К.

(~5 эВ) в ионах  $\text{Gd}^{3+}$ . Значительно более интенсивное широкополосное поглощение зарегистрировано при разрешенных  $4f^1 \otimes 5d^1$  переходах в  $\text{Ce}^{3+}$  в области 3,6 и 4,3 эВ для  $\text{Gd}_2\text{SiO}_5:\text{Ce}^{3+}$ . На рис. 2 представлены спектры катодолюминесценции  $\text{Gd}_2\text{SiO}_5$  и  $\text{Gd}_2\text{SiO}_5:\text{Ce}^{3+}$  при возбуждении 10 кэВ электронами при 5 К. В спектре  $\text{Gd}_2\text{SiO}_5$  видно интенсивное узкополосное свечение ~3,95 эВ и существенно более слабые линии свечения около 4,4 и 4,85 эВ, соответствующие люминесценции катионов  $\text{Gd}^{3+}$  (электронные переходы  ${}^6\text{P}_J \otimes {}^8\text{S}_{7/2}$ ,  ${}^6\text{I}_J \otimes {}^8\text{S}_{7/2}$ , и  ${}^6\text{D}_J \otimes {}^8\text{S}_{7/2}$ ), а также широкополосное свечение с максимумом ~2 эВ, имеющее коротковолновую компоненту при ~2,6 эВ. Свечение 2,5-3,2 эВ существенно лучше выражено в спектре катодолюминесценции  $\text{Gd}_2\text{SiO}_5:\text{Ce}^{3+}$ , хорошо возбуждается в полосах поглощения  $\text{Ce}^{3+}$  и соответствует, в основном, свечению примесных  $\text{Ce}^{3+}$ -центров [2]. Даже максимально чистые образцы  $\text{Gd}_2\text{SiO}_5$  содержат некоторое

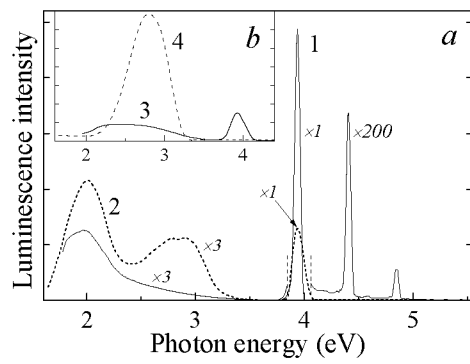


Рис. 2. Спектры катодолюминесценции при возбуждении 10 кэВ электронами (а) и инерционной фосфоресценции (б), измеренные для  $\text{Gd}_2\text{SiO}_5$  (1, 3) и  $\text{Gd}_2\text{SiO}_5:\text{Ce}^{3+}$  (2, 4) при 5 К.

количество примесных ионов  $\text{Ce}^{3+}$  ( $\Theta$  0,01 мол%). Введение в  $\text{Gd}_2\text{SiO}_5$  0,5 мол%  $\text{Ce}^{3+}$ -ионов приводит к ослаблению  $\text{Gd}^{3+}$ -свечения 3,95 эВ в ~3 раза, а также ослабляет предполагаемое свечение экситонов, автолокализованных на ионах кислорода (~2 эВ). На рис. 2 также приведены спектры инерционной (многоминутной) фосфоресценции, измеренные для  $\text{Gd}_2\text{SiO}_5$  и  $\text{Gd}_2\text{SiO}_5:\text{Ce}^{3+}$  при 5 К после выключения возбуждающего пучка электронов. В обоих спектрах фосфоресценции регистрируется слабое широкополосное свечение 1,7-3,3 эВ. Свечение ионов  $\text{Gd}^{3+}$  при 3,95 эВ есть только в спектре  $\text{Gd}_2\text{SiO}_5$ , присутствие же 0,5 мол% примесных ионов  $\text{Ce}^{3+}$  усиливает фосфоресценцию 2,4-3,2 эВ, но подавляет её при  $hn > 3,2$  эВ.

Рис. 3 демонстрирует спектры возбуждения  $\text{Gd}_2\text{SiO}_5$ , измеренные для выделенных монохроматором свечений 3,92 эВ (свечение  $\text{Gd}^{3+}$ ) и 2,6 эВ с использованием синхротронного излучения 4-20 эВ при 8 К. Свечение

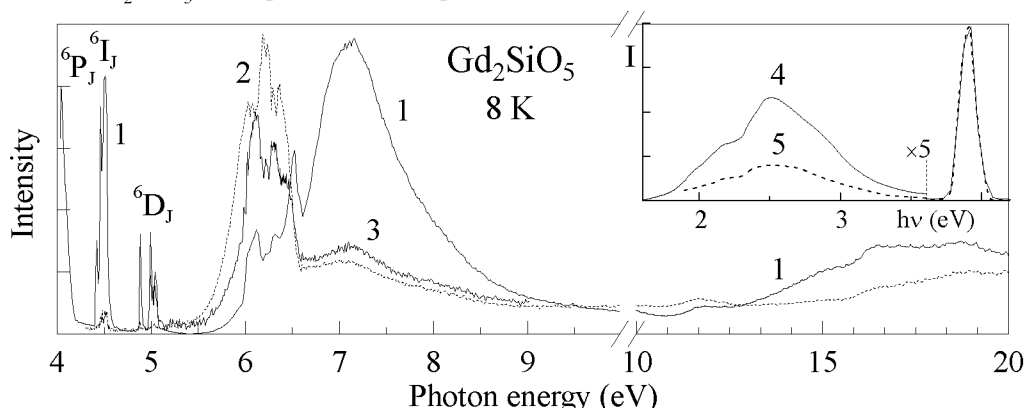


Рис. 3. Спектры возбуждения, измеренные в  $\text{Gd}_2\text{SiO}_5$  для в свечений 3,92 эВ (свечение  $\text{Gd}^{3+}$ , кривая 1) и 2,6 эВ (2) и 2,1 эВ (3) с использованием синхротронного излучения 4-20 эВ. Спектры излучения при возбуждении  $\text{Gd}_2\text{SiO}_5$  фотонами 10,8 (4) или 16,5 эВ (5). Спектры измерены при 8 К.

$\text{Gd}^{3+}$  эффективно возбуждается в областях 4,1; 4,45; 6,5-8,0 и 16-20 эВ, в то время как в области 9-13 эВ свечение 2,6 эВ, связанное с цериевыми примесными центрами, возбуждается даже более эффективно, чем собственное свечение катионов  $\sim 3,95$  эВ. Фотоны 16-20 эВ создают горячие носители (электроны проводимости или дырки), энергии которых уже достаточно для создания вторичных электронных возбуждений. В нашем случае для возбуждения ионов кислорода около  $\text{Gd}^{3+}$  нужны горячие носители с энергией 6,8-8,0 эВ. На вставке рис. 3 приведены спектры излучения, измеренные при возбуждении  $\text{Gd}_2\text{SiO}_5$  фотонами 10,8 или 16,5 эВ при 8 К. В случае возбуждения фотонами 16,5 эВ эффективность  $\text{Gd}^{3+}$ -свечения (половина полосы с максимумом  $\sim 3,95$  эВ не превышает 0,15 эВ) относительно широкой полосы свечения 1,9-3,2 эВ удваивается.

Моноклинная кристаллическая решетка оксиортосиликата гадолиния имеет винтовую ось по направлению U с проходящими через нее слоями ионов  $\text{Gd}^{3+}$ , входящих в состав полизидров с семью или девятью ионами кислорода (один из ионов кислорода наиболее близок к  $\text{Gd}^{3+}$ ). Согласно рис. 3, эффективность возбуждения  $\text{Gd}^{3+}$ -свечения при 8 К высока в области энергий возбуждающих фотонов 6,8-8,0 эВ, связанной с передачей энергии возбужденных состояний кислорода ионам  $\text{Gd}^{3+}$ . При повышении температуры наблюдается резкое тушение свечения  $\sim 3,95$  эВ и к 40 К свечение ослаблено в десятки раз (см. рис. 4). К сожалению, имеющиеся данные (отсутствие четкого

плато в области  $T < 15$  К) не позволяют уверенно утверждать о соответствии или несоответствии процесса теплового тушения люминесценции катионных экситонов формуле Мотта, обычно используемой для описания такого рода процессов в высокосимметричных кубических кристаллах (см., например, [5]). Отметим лишь, что тепловое тушение свечения 3,9 эВ с энергией активации  $\sim 0,15$ -0,20 эВ несколько зависит от энергии возбуждающих фотонов: 7,2, 8,5 или 16,5 эВ (рис. 4).

Важной характеристикой быстрых свечений в  $\text{Gd}_2\text{SiO}_5$  является их длительность вnano- и микросекундном диапазонах. Такие свечения были изучены нами в спектральном диапазоне 1,7-5,2 эВ при 80 К при возбуждении монокристаллов  $\text{Gd}_2\text{SiO}_5$  одиночными импульсами электронов (300 кэВ,  $\sim 3$  нс). В качестве примера на рис. 5 приведены некоторые кривые затухания свечения, измеренные для разных областей спектра излучения. Затухание очень слабого свечения 5 эВ описывается экспонентой с  $t = 5$  нс (т.е. на аппаратурном пределе разрешения). Как и в других широкощелевых оксидах импульс этого свечения соответствует внутризонной люминесценции, интенсивность которой практически не зависит от температуры измерения [11]. Свечения в области 3,9 и 4,0 эВ характеризуются  $t_1 = 8$  нс и  $t_2 = 77$  нс, но их интенсивность превышает уровень внутризонной люминесценции. По нашему мнению, это свечение соответствует излучательным переходам  ${}^6\text{P}_J \xrightarrow{\gamma} {}^8\text{S}_{7/2}$  в  $\text{Gd}^{3+}$ , в сотни раз ослабленным тепловым тушением (см. рис. 4) и, соответственно, с сильно укоро-

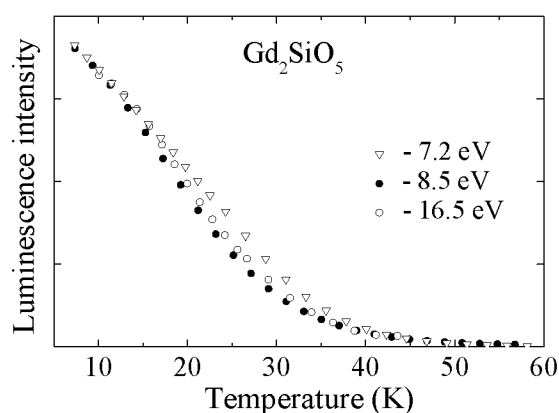


Рис. 4. Кривые теплового тушения  $\text{Gd}^{3+}$ -свечения 3,92 эВ при возбуждении  $\text{Gd}_2\text{SiO}_5$  фотонами 7,2 эВ ( $\nabla\nabla$ ), 8,5 эВ ( $\bullet\bullet$ ) и 16,5 эВ ( $\circ\circ$ ).

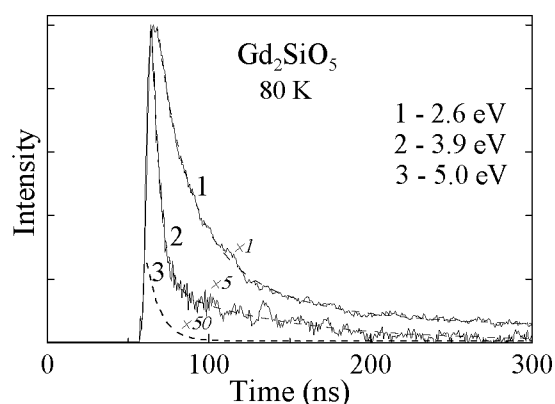


Рис. 5. Кривые затухания свечения 2,6 эВ (кривая 1), 3,9 эВ (2) и 5 эВ (3), измеренные после возбуждения  $\text{Gd}_2\text{SiO}_5$  импульсом электронов 300 кэВ длительностью 3 нс при 80 К.

ченным  $t$ . В области неэлементарной полосы свечения 2,2-3,2 эВ кинетика затухания импульсов свечения сильно замедляется и описывается двумя экспонентами, наблюдается слабое разгорание свечения. Для 2,6 эВ затухание описывается  $t_1 = 18$  нс и  $t_2 = 62$  нс.

Для общего рассмотрения излучательных и безызлучательных переходов в катионной подрешетке  $\text{Gd}_2\text{SiO}_5$  и  $\text{Gd}_2\text{SiO}_5:\text{Ce}^{3+}$  мы использовали обобщенную схему электронных переходов в ионах  $\text{Gd}^{3+}$  для широкощелевых фторидов ( $\text{LiGdF}_4$ ,  $\text{GdF}_3$  и др.), предложенную в [12] и использованную затем для фосфора  $\text{CaSO}_4:\text{Gd}^{3+}$  [7]. Согласно этой схеме для разрешенных электронных переходов  $4f^7 \xrightarrow{\Delta E} 4f^65d^1$  в поглощении ионов  $\text{Gd}^{3+}$  требуется необычно большая энергия 10-11 эВ. Наряду с обратными излучательными переходами  $4f^65d^1 \xrightarrow{\Delta E} 4f^7$  во фторидах имеют место  $4f^7 \xrightarrow{\Delta E} 4f^7$  переходы в красной области спектра ( ${}^6G_J \xrightarrow{\Delta E} {}^6I_J$  и  ${}^6G_J \xrightarrow{\Delta E} {}^6P_J$ ), а также излучательные переходы с  ${}^6D_J$ ,  ${}^6I_J$  и  ${}^6P_J$  в основное состояние гадолиния  ${}^8S_{7/2}$ . Из данных рис. 1 и 2 следует, что в области электронных переходов  ${}^8S_{7/2} \xrightarrow{\Delta E} {}^6I_J$  и  ${}^8S_{7/2} \xrightarrow{\Delta E} {}^6D_J$  в ионах  $\text{Gd}^{3+}$  осуществляется и эффективное возбуждение поглощающих в этой области примесных ионов  $\text{Ce}^{3+}$ .  $\text{Gd}^{3+}$ -свечение ~3,95 эВ приходится на область глубокого провала в спектре поглощения  $\text{Ce}^{3+}$ -центров. В  $\text{Gd}_{2-x}\text{Lu}_x\text{SiO}_5$  с  $x = 0,74$  область расщепленных в низкосимметричных полях 5d-уровней  $\text{Ce}^{3+}$  смещается, вызывая тем самым существенную реабсорбцию свечения  $\text{Gd}^{3+}$  в области 3,9-4,0 эВ. Как известно (см., например, [5]), в широкощелевых кристаллах кроме прямого возбуждения примесных центров люминесценции имеет место и создание электронных возбуждений на окружающих примесный центр ионах. Аналогом таких околопримесных возбуждений являются возбужденные состояния ионов кислорода, близких к катионам  $\text{Gd}^{3+}$  в  $\text{Gd}_2\text{SiO}_5$ . Энергия этих возбужденных состояний кислорода превышает  ${}^6P_J$ ,  ${}^6I_J$ ,  ${}^6D_J$  и другие 4f уровни  $\text{Gd}^{3+}$ . По нашему мнению, широкая полоса возбуждения для свечения катионных экситонов ~3,9 эВ в области 6,5-8,0 эВ как раз соответствует поглощению соседних с  $\text{Gd}^{3+}$  ионов кислорода. Эта общая схема заслуживает дальнейшего экспериментального и, особенно, теоретического анализа.

Настоящая работа выполнена при поддержке Научного фонда Эстонии (грант 7825) и

программы Евросоюза «EC Research Infrastructure Action within the FP6 Program through the Contract RI3-CT-2004-506008 (IASFS)».

## ЛИТЕРАТУРА

1. Lecoq, P., Annenkov, A., Gektin, A., Korzhik, M., Pedrini, C. Inorganic Scintillators for Detector Systems. Physical Principles and Crystal Engineering. Berlin:Springer, 2006.
2. Иванов В.Ю., Пустоваров В.А., Кирм М., Шлыгин Е.С., Ширинский К.И. Перенос энергии в кристаллах  $\text{Gd}_2\text{SiO}_5\text{-Ce}$ ,  $\text{Y}_2\text{SiO}_5\text{-Ce}$  и  $\text{Be}_2\text{La}_2\text{O}_5\text{-Ce}$  при селективном ВУФ- и остаточном облучении // ФТТ. 2005. Т. 47. С. 1435-1439.
3. Иванов В.Ю., Шлыгин Е.С., Пустоваров В.А., Мазуренко В.В., Шульгин Б.В. Ширинский К.И. Собственная люминесценция редкоземельных оксиортосиликатов // ФТТ. 2008. Т. 47. С. 1628-1634.
4. Bondar' V.G., Krivoshein V.I. Martynov V.P., Nagornaya L.L., Ryzhikov V.D. Optimization of thermal conditions in growing of GSO:Ce crystals by Czochralski technique // Functional Materials. 2005. V. 12, P. 196-200.
5. Лущик Ч.Б., Лущик А.Ч. Распад электронных возбуждений с образованием дефектов в твердых телах. М.: Наука, 1989.
6. Nakonechnyi S., Körner T., Lushchik A. Lushchik Ch., Babin V., Feldbach E., Kudryavtseva I., Liblik P., Pung L., Vasil'chenko E. Low-temperature excitonic, electron-hole and interstitial-vacancy processes in LiF single crystals // J. Phys.: Condens. Matter. 2006. V. 18. P. 379-394.
7. Kudryavtseva I., Liblik P., Lushchik A., Maaroos A., Vasil'chenko E., Azmagambetova Z., Nurakhmetov T., Toxanbayev B.. Electron-hole and excitation processes in  $\text{CaSO}_4$  doped with  $\text{Gd}^{3+}$ ,  $\text{Tb}^{3+}$  and  $\text{Dy}^{3+}$  // J. Lumin. 2009, in print.
8. Shimizu S., Ishibashi H., Ejiri A., Kubota S. Luminescence decay of Ce-doped GSO under excitation of VUV photons with energy less than 30 eV at room temperature // Nucl. Instr. Meth. Phys. Res. A. V. 486. P. 490-495.
9. Lushchik A., Savikhin F., Tokbergenov I. Fast intrinsic emissions in wide-gap oxides under electron irradiation. // Radiat. Eff. Defects Solids. 2002. V. 157, P. 537-543.
10. Zimmerer G. Status report on luminescence investigations with synchrotron radiation at HASYLAB. // Nucl. Instr. Meth. Phys. Res. A. 1991. V. 308. P. 178-186.
11. Вайсбурд Д.И., Сёмин Б.Н. Внутризонная радиолюминесценция диэлектриков. // Изв. АН СССР. Сер. физическая. 1992. Т. 56. С. 103-112.
12. Kirm M., Stryganyuk G., Vielhauer S., Zimmerer G., Makarov V.N., Malkin B.Z., Solovyev O.V., Abdulsabirov R.Yu., Korableva S.R. Vacuum-ultraviolet 5d-4f luminescence of  $\text{Gd}^{3+}$  and  $\text{Lu}^{3+}$  ions in fluoride matrices. // Phys. Rev. B. 2007. V. 75. 075111.
13. B. Toxanbayev, E. Vasil'chenko, A. Zhunusbekov, A. Lushchik, V. Nagirnyi, T. Nurakhmetov, F. Sahikhin, «Luminescence of cation excitons in  $\text{Gd}_2\text{SiO}_5$  crystals».

## Резюме

$\text{Gd}_2\text{SiO}_5$  және  $\text{Gd}_2\text{SiO}_5:\text{Ce}^{3+}$  монокристаллдардың энергиялары 10 кэВ электрондармен, 4-20 эВ фотондармен және 300 кэВ импульстық наносекундтық электрондармен 5-80К температура аралығында көздөрылған көзделік катиондық экситондардың ( $\text{Gd}^{3+}$ ) және  $\text{Ce}^{3+}$ -жарық шығару орталықтарының табигаты зерттелді.  $\text{Gd}_2\text{SiO}_5$  кристаллдардағы  $\text{Gd}^{3+}$  катионының энергетикалық күйлерінің f>g электрондық ауысыларымен анықталатын  ${}^8S_{7/2}$  негізгі күйінен  ${}^6P_J$  козған күйіне (жұтылу аймағы ~ 4 эВ),  ${}^6I_J$  (~4,5 эВ),  ${}^6D_J$  (~5 эВ) және керісінше, козған күйден негізгі күйіне көшуіне сәйкес келетін жұтылу және шығару спектрлері анықталды. Егер кристаллдардағы  $\text{Gd}^{3+}$  ионының жаңындағы козған күйдегі оттегі немесе электрон-кемтікtonдық мешікті козулар энергияларын беріп көздөратын болса 3,95 эВ сәйкес